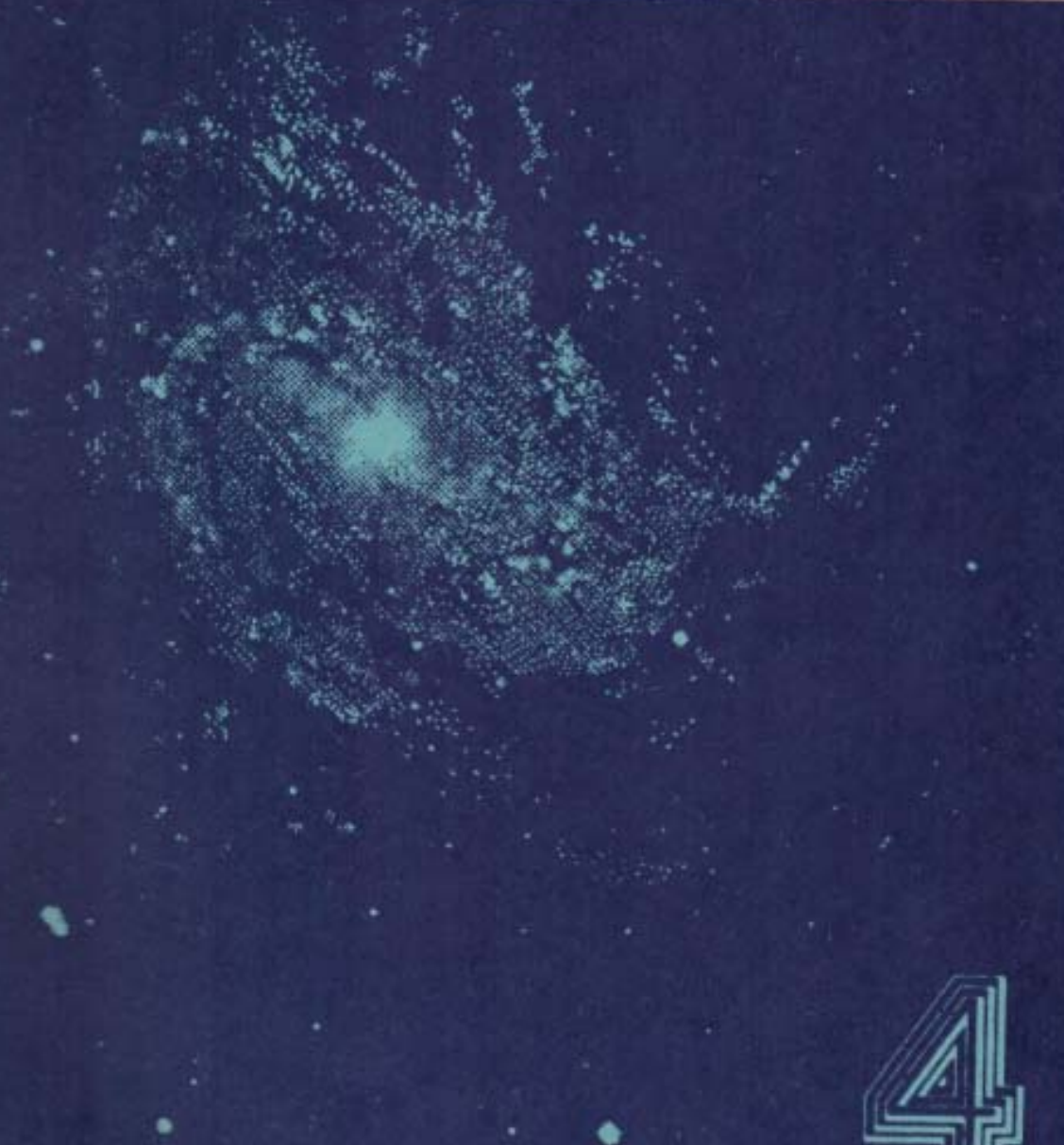


АКАДЕМИЯ НАУК УКРАИНСКОЙ ССР
КОМИССИЯ КОСМИЧЕСКИХ ИССЛЕДОВАНИЙ
ГЛАВНАЯ АСТРОНОМИЧЕСКАЯ ОБСЕРВАТОРИЯ

ISSN 0321-4500

КОСМИЧЕСКАЯ НАУКА И ТЕХНИКА



4

1989

АКАДЕМИЯ НАУК УКРАИНСКОЙ ССР
Комиссия космических исследований
Главная астрономическая обсерватория

КОСМИЧЕСКАЯ НАУКА И ТЕХНИКА

РЕСПУБЛИКАНСКИЙ МЕЖВЕДОМСТВЕННЫЙ
СВОРНИК НАУЧНЫХ ТРУДОВ

ОСНОВАН В 1986 Г.

4
ВЫПУСК

Киев
Наукова думка
1989

УДК 551.510.535

А. М. Гоков, В. А. Мисюра, Л. А. Пивень,
Ю. П. Федоренко

**ИССЛЕДОВАНИЕ ПОГРЕШНОСТИ
ОПРЕДЕЛЕНИЯ СКОРОСТИ ДРЕЙФА
МЕЛКОМАСШТАБНЫХ НЕОДНОРОДНОСТЕЙ
ЭЛЕКТРОННОЙ КОНЦЕНТРАЦИИ
НИЖНЕЙ ИОНОСФЕРЫ ПО АНАЛИЗУ
РЕГИСТРАЦИИ АМПЛИТУД
ЧАСТИЧНО ОТРАЖЕННЫХ СИГНАЛОВ**

Методики пространственно-разнесенного и совмещенногоприема рассмотрены при учете параметров среды в рассеивающем объеме и когерентной составляющей частично отраженных сигналов. Оценены погрешности определения скорости дрейфа V , вызванные неточностью временных измерений, преибражением параметрами среды в рассеивающем объеме, когерентной составляющей принятых сигналов, флюктуирующей компонентной скорости дрейфа. Для повышения точности определения V рекомендуется использовать методику пространственно-разнесенного приема, измерять амплитуды обыкновенной поляризации с временной дискретизацией $\Delta t \approx 0.1$ с на зондирующую частоту $f \approx 2-3$ МГц. При этом для диаграмм направленности ДН (произведение ДН приемной антенны на ДН передающей антенны) с шириной около 20° по уровню e^{-1} погрешность составляет около 20 %. Приведены результаты экспериментальной проверки методик.

Разнесенный прием. Для уменьшения погрешности при исследовании \vec{V} следует использовать обыкновенную компоненту ЧО-сигналов. Это обусловлено тем, что для обыкновенной компоненты, в отличие от необыкновенной, кажущиеся высоты ЧО-сигналов значительно меньше отличаются от истинных высот рассеяния [4]. Обозначим индексами 1 и 2 все величины, относящиеся к двум разнесенным по поверхности Земли приемным антеннам. Тогда связь коэффициента пространственно-временной корреляции $\rho_{A_1^2 A_2^2}$ квадратов A_1 и A_2 с модулем коэффициента пространственно-временной корреляции $\rho_{E_{s1} E_{s2}}$ рассеянных полей E_{s1} и E_{s2} имеет вид [5]:

$$\rho_{A_1^2 A_2^2}^{(r)} = |\rho_{E_{s1} E_{s2}}^{(r)}| \frac{|\rho_{E_{s1} E_{s2}}^{(t)}| + 2\beta_1 \beta_2 \cos(\varphi_1 - \varphi_2 - \gamma)}{|(1 + 2\beta_1^2)(1 + 2\beta_2^2)|^{1/2}}, \quad (1)$$

где $\beta_{1,2}$ — отношение энергий отраженной и рассеянной составляющих поля ЧО-сигналов определяется по методике, приведенной в [6]; $\varphi_{1,2}$ — фаза отраженных полей ЧО-сигналов; $\gamma = \arctg(Jm \rho_{E_{s1} E_{s2}} / Re \rho_{E_{s1} E_{s2}})$. Однако при разнесениях $\sim \lambda$ нетрудно показать, что $\beta_1 \simeq \beta_2 \simeq \beta_3$, $\varphi_1 - \varphi_2 - \gamma = 0$, поэтому (1) упрощается к виду [7—9]

$$\rho_{A_1^2 A_2^2}^{(r)} = |\rho_{E_{s1} E_{s2}}^{(r)}| \frac{|\rho_{E_{s1} E_{s2}}^{(t)}| + 2\beta^2}{1 + 2\beta^2}. \quad (2)$$

При получении $|\rho_{E_{s1} E_{s2}}^{(r)}|$ используем методику вычислений [3] и учтем отличие среды от вакуума в рассеивающем объеме. При этом для $|\rho_{E_{s1} E_{s2}}^{(r)}|$ окончательно имеем

$$|\rho_{E_{s1} E_{s2}}^{(r)}| = \exp\left(-\frac{1}{4}\theta_s R_x^2\right), \quad (3)$$

где $R_x = 2 \frac{\omega}{c} \left[\left(V_x \tau - \frac{x_p}{2}\right)^2 + (V_y \tau)^2 \right]^{1/2} n$,

V_x , V_y — составляющие \vec{V} по ортогональным осям x и y , лежащим в плоскости Земли; x_0 — расстояние между приемными антеннами вдоль оси x ; $\omega = 2\pi f$; c — скорость света в вакууме; n — действительная часть коэффициента преломления, которая характеризует влияние среды в рассеивающем объеме ЧО-сигналов; θ_s определяется по интервалам автокорреляции флюктуаций A_0^2 для двух частот или по радиусу пространственной корреляции флюктуаций A_0^2 .

При разнесении на y_0 приемных антенн вдоль оси y

$$\rho_{A_0^2 A_0^2}^{(n)} = |\rho_{E_{sl} E_{sl}}^{(n)}| \frac{|\rho_{E_{sl} E_{sl}}^{(n)}| + 2\beta^2}{1 + 2\beta^2}, \quad (4)$$

где

$$|\rho_{E_{sl} E_{sl}}^{(n)}| = \exp\left(-\frac{1}{4} \theta_s^2 R_y^2\right),$$

$$R_y = 2 \frac{\omega}{c} \left[(V_x \tau)^2 + \left(V_y \tau - \frac{y_0}{2}\right)^2 \right]^{1/2} n. \quad (5)$$

Из (2) и (4) нетрудно определить, что величина и направление (описываемое углом ξ) скорости перемещения неоднородностей не зависят от β , n и выражения для V и ξ совпадают с выражениями, приведенными в [2].

При осуществлении флюктуирующей составляющей скорости V_z и предположении $n = 1$ для V получаем зависимость

$$V = \left[\frac{x_0^2 y_0^2}{4(x_0^2 \tau_0^2 + y_0^2 \tau_x^2)} - \frac{4}{3} \frac{\bar{V}_z^2}{\theta_s^2} \right]^{1/2}. \quad (6)$$

Выражение для ξ в этом случае не изменяется. При $\frac{\bar{V}_z^2}{V^2} \frac{1}{\theta_s^2} \ll 1$ и $\tau_y = 0$ (или $\tau_x = 0$) погрешность определения V , вызванная пренебрежением V_z , определяется выражением $\eta_1 = -\frac{2}{3} \bar{V}_z^2 / (V^2 \theta_s^2)$.

Для $V \approx 50$ — 100 м/с можно положить $(\bar{V}_z^2)^{1/2} / V = 0,05$ — $0,1$, что приводит при $\theta_s = \theta_0 = 20^\circ$ (это значение θ_0 использовалось для всех последующих вычислений) к погрешности $\eta_1 = -2\ldots -5\%$. Для меньших значений V погрешность будет больше (вектор \vec{V} совпадает с осью x и y).

Погрешность определения V и ξ устанавливали также интервалом дискретизации Δt регистраций $A(t)$. Согласно оценкам при $f = 2$ — 3 МГц и $V = 10$ — 100 м/с необходимо, чтобы $\Delta t \leq 0,1$ с. При этом погрешность определения V не превышает $\eta_2 \approx 10\%$. Для $f = 5$ — 6 МГц такая же погрешность возможна только при $\Delta t \approx 0,05$ с. Для $f = 2$ — 6 МГц и $\Delta t = 0,5$ с такой погрешностью возможно определить только малые значения $V \approx 10$ м/с.

Совмещенный прием. Если передающая и приемные антенны совмещены в пространстве, то из (2) или (4) получаем

$$V = \frac{cM}{\omega \theta_s \tau_b}, \quad (7)$$

где $M = (-\ln[-\beta^2 + \sqrt{\beta^4 + e^{-1}(1+2\beta^2)}])^{1/2}$; τ_b — интервал корреляции $\rho_{A_0^2}(\tau)$ по уровню e^{-1} . Как нетрудно определить из (7), погрешность определения V , обусловленная предположением $\beta = 0$, составляет $\eta_3 = -\frac{M-1}{M} \sqrt{2}$. При $\beta^2 \approx 3$ — 5 $\eta_3 \approx 30\%$, при $\beta = 1$ $\eta_3 \approx 20\%$. Затем, что $\tau_{\text{max}} \approx 41\%$. Таким образом, при $\beta^2 \geq 1$ — 3 , что часто имеет место в эксперименте, учет когерентной составляющей ЧО-сигналов позволяет повысить точность определения V на 20—30%.

Погрешность определения V , обусловленная предположением о том, что в рассеивающем объеме $n = 1$, определяется из (7) выражением $\eta_4 =$

$\eta_4 = 1 - \eta$. Расчет η_4 с использованием v (частота столкновений электронов с молекулами) и N , взятых соответственно из [10, 11], показан на рис. 1. Числа у кривых соответствуют f в МГц. Как видно, при $z \leq 90$ км для $f = 2-6$ МГц и при $z \leq 100$ км для $f = 4-6$ МГц величиной η_4 можно пренебречь ($\eta_4 \leq 4\%$). При $z > 100$ км $f = 2-3$ МГц, $\eta_4 \geq 10-20\%$.

Погрешность определения V , обусловленная неточностью измерения τ_k , выводим из (7) выражением $\eta_5 = \delta t / \tau_k$, $\delta t = \Delta t / 2$. В табл. 1 приведены расчетные значения τ_k для $\theta_s = \theta_0 = 20^\circ$ и $\beta = 0$. При $\beta \gg 1$ ($\geq 3-5$) τ_k увеличивается на 40 %. Как видно из табл. 1, при $f = 2-6$ МГц и $V = 10-100$ м/с, как и в случае разнесенного приема, необходимо, чтобы $\Delta t \leq 0,1$ с. При $\Delta t \leq 0,1$ с $\eta_5 = 1-15\%$ для $f = 2-3$ МГц, для 5-6 МГц $\eta_5 \approx 3-30\%$. При $\Delta t = 0,5$ с и $f = 2-6$ МГц возможно определить только малые значения $V \sim 10$ м/с с погрешностью $\eta_5 = 5-15\%$. Если ширина эффективной диаграммы направленности обратно пропорциональна частоте, то погрешность определения V не зависит от частоты зондирования.

Погрешность определения V , обусловленная предположением $(\bar{V}_s^2)^{1/2} \approx 0$ при $\left(\frac{2}{3}\bar{V}_s^2/(V^2\theta_s^2)\right) \ll 1$, определяется $\eta_6 \approx -\frac{1}{3}(\bar{V}_s^2/V\theta_s^2)$. При $(\bar{V}_s^2)^{1/2}/V = 0,05-0,1$ и $\theta_s = \theta_0 = 20^\circ$ $\eta_6 \approx 1-2,5\%$.

Результаты экспериментальной проверки. Измерения ЧО-сигналов проводились с помощью системы частичных отражений Харьковского университета в средних широтах ($\varphi = 49^\circ N$, $\lambda = 36^\circ E$) в различные сезоны года при разных зенитных углах солнца f (приемная и передающая антенны системы совмещены в одном пункте). (Для иллюстрации приводятся данные, полученные в трех экспериментах.) Частота зондирующих сигналов была $f = 1,7-2,8$ МГц, интервал дискретизации Δt регистраций $A(t)$ со-ставлял 0,2 с (изучение радиоимпульсов длительностью $\tau_U = 25$ мкс прово-дилось с частотой следования $F = 5$ Гц, регистрация ам-плитуд A ЧО-сигналов велась на киноленту с последующей обработкой на полуавтоматической установке с выводом амплитуд A на перфоленту и обработкой на ЭВМ), $\theta_s \approx 20^\circ$. В табл. 2 указаны условия проведения экспери-

Таблица 1. Расчетные интервалы аутокорреляции τ_k , с

V , м/с $^{-1}$	f , МГц				
	2	3	4	5	6
10	4,850	2,236	2,437	1,954	1,618
50	0,075	0,647	0,485	0,391	0,324
100	0,485	0,324	0,243	0,195	0,162

ментов, значения β_2^0 и τ_k . Здесь же даны значения η_5 для этих регистраций и ряда высот D-области ионосферы. Видно, что η_5 составляет около 7-13 %.

Высотные профили V (которые рассчитывались по (7)) для этих регистраций показаны на рис. 2 (кривые 1 — получены в предположении $\beta = 0$, кривые 2 — с учетом β). Здесь же показаны высотные профили η_5 . Значения η_5 составляют 20-30 %.

На рис. 3 показаны высотные профили $N(z)$, полученные в этих изме-реиях.

В заключение можно сделать следующие выводы.

1. Минимальная погрешность определения скорости дрейфа достигается при разнесенном приеме. В этом случае она в основном определяется точностью измерения временных смещений максимумов функций пространственно-временной корреляции. Для уменьшения погрешности следует выполнять измерения амплитуды обычной компоненты с временной дисcretизацией $\Delta t \leq 0,1$ с на частоте $f \approx 2-3$ МГц. Погрешность при этом для

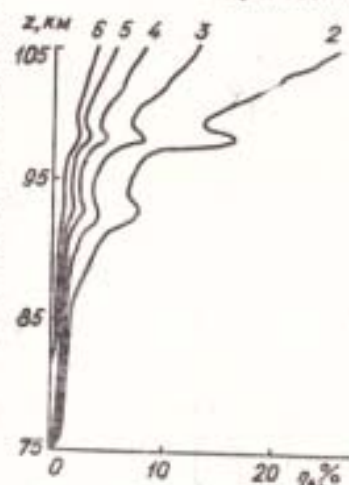


Рис. 1. Зависимость погрешности η_4 от высоты для частот $f = 2-6$ МГц (см. соответствующие числа у кривых)

Таблица 2. Высотные зависимости β_0 , τ_B и η_B , полученные с помощью метода частичных отражений

25.01.79 $\chi = 72^\circ$				30.07.81 $\chi = 81^\circ$				17.05.78 $\chi = 62^\circ$			
z, км	β_0^2	τ_B , с	η_B , %	z, км	β_0^2	τ_B , с	η_B , %	z, км	β_0^2	τ_B , с	η_B , %
72	1,80	0,9	11	74	0,440	0,95	10	74	1,30	1,25	8,0
75	1,20	1,1	9	76	0,400	1,00	10	77	1,30	1,35	7,5
78	0,70	1,3	8	78	0,660	1,25	8	80	0,90	1,30	7,0
81	0,95	1,1	9	80	1,100	1,40	7	83	1,10	0,95	10
84	1,20	1,2	9	82	0,050	1,10	9	86	1,05	0,90	11
87	1,60	1,4	7	84	0,905	0,95	10	89	0,93	0,82	13
				86	1,150	1,10	9				

разнесений между приемными антеннами, равными длине волны и скоростей 10—100 м/с, составляет 1—10 %. Применение более высоких частот нецелесообразно, поскольку для сохранения таких же величин погрешности в этом случае необходимо уменьшить Δt , что усложняет измерения. В то же время $f \approx 2$ —3 МГц обеспечивают измерения V во всей D -области.

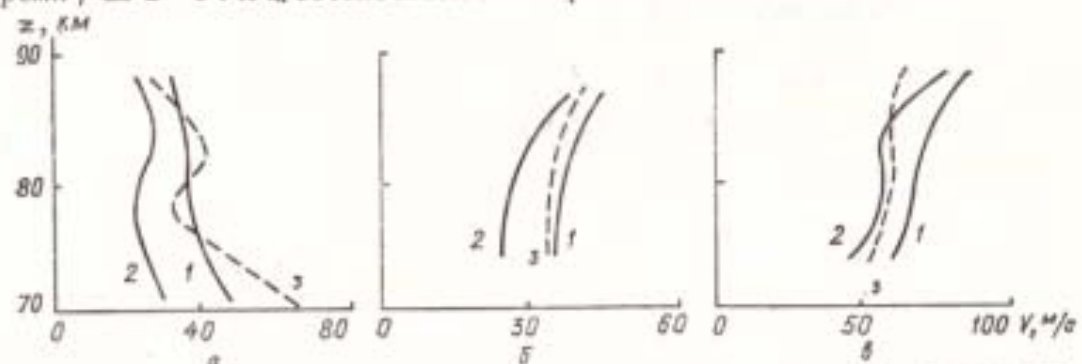


Рис. 2. Высотные профили V , η_B , полученные 25.01.79 (a) ($\chi = 72^\circ$), 30.07.81 (б) ($\chi = 81^\circ$), 17.05.78 (в) ($\chi = 62^\circ$); профиль $V(z)$ получен:
1 — без учета B ; 2 — с учетом B ; 3 — профиль η_B .

2. При совмещенном приеме необходимо учитывать когерентную составляющую частично отраженных сигналов, что позволяет уменьшить погрешность определения V на 20—30 %. Для уменьшения погрешности методики следует выполнять измерения амплитуды обыкновенной компоненты с временной дискретизацией $\Delta t \leq 0,1$ с на частоте $f \approx 2$ —3 МГц. Погрешность

при этом для $\theta \approx \theta_0 \approx 20^\circ$ и скоростей $V \approx 10$ —100 м/с на высотах $z \leq 90$ км составляет около 1—15 %, а при $z \geq 100$ км — около 10—35 %. Применение более высоких частот, как и при разнесенном приеме, нецелесообразно, поскольку это хотя и уменьшает погрешность, обусловленную допущением в рассеивающем объеме $n(N, v) = 1$, однако увеличивает

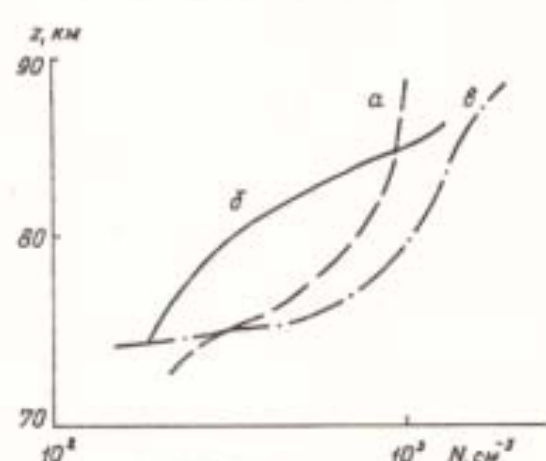


Рис. 3. Высотные профили плотности злекtronov, полученные в тех же измерениях, что и профили $-V(z)$ (рис. 2, а—в соответственно).

погрешность, обусловленную дискретизацией, и поэтому суммарная погрешность возрастает. Если ширина эффективной диаграммы направленности обратно пропорциональна частоте, то погрешность определения скорости дрейфа не зависит от частоты зондирования.

- Гоков А. М., Пивень Л. А., Федоренко Ю. П. К определению электронной концентрации D -области ионосферы по амплитудным измерениям частично отраженных сигналов // Геомагнетизм и аэрономия. — 1987. — 27, № 5. — С. 385—392.

2. Исследование дифракционной картины, возникающей на поверхности земли при обратном рассеянии радиоволн неоднородностями нижней ионосферы / Е. А. Бенедиктов, Л. В. Гришкович, В. А. Иванов, Ю. А. Игнатьев // Изв. вузов. Радиофизика.— 1974.— 17, № 6.— С. 798—801.
3. О применимости метода обратного рассеяния радиоволн для изучения неоднородностей ионизации и их движений в ионосфере / Е. А. Бенедиктов, Л. В. Гришкович, В. А. Иванов, Ю. А. Игнатьев // Геомагнетизм и аэрономия.— 1974.— 14, № 4.— С. 645—649.
4. К анализу частично отраженных сигналов / В. Н. Бондаренко, В. А. Мисюра, Л. А. Пивень, Ю. П. Федоренко // Геофиз. сб. АН УССР.— 1979.— Вып. 87.— С. 73—78.
5. Федоренко Ю. П., Пластицкина А. В. Коэффициент пространственно-временной корреляции квадратов огибающих КВ сигналов // Геомагнетизм и аэрономия.— 1978.— 18, № 2.— С. 365—367.
6. Альперт Я. Л. Распространение электромагнитных волн в ионосфера.— М.: Наука, 1972.— 563 с.
7. Гришкович Л. В. К вопросу об изучении неоднородностей структуры ионосферы методом пространственно-разнесенного приема с малой базой / Геомагнетизм и аэрономия.— 1962.— 2, № 5.— С. 909—917.
8. Букимович В. Н. Флуктуационные процессы в радиоприемных устройствах.— М.: Соп. радио, 1951.— 201 с.
9. Чечя В. А. Учет влияния когерентно отраженной части сигналов на его корреляционные свойства // Изв. вузов. Физика.— 1961.— № 4.— С. 17—22.
10. Belrose J. S. Radio wave probing of the ionosphere by the partial reflections of radio waves (from the heights below 100 km) // J. Atmos. Terrestr. Phys.— 1970.— 32, N 4.— Р. 561—596.
11. Комплексные исследования нижней ионосферы / В. А. Мисюра, Л. В. Волкова, В. Т. Дымшиц и др. // Физика ионосферы.— М.: Наука, 1976.— С. 50—51.

Получено 30.01.84

УДК 550.388.2

В. Л. Дорохов, Л. А. Пивень, Ю. П. Федоренко,
А. С. Шемет

К ВОПРОСУ О ПРИРОДЕ ЧАСТИЧНО ОТРАЖЕННЫХ СИГНАЛОВ

На основе анализа экспериментальных результатов предполагается, что ниже $z \approx 80$ км частично отраженные сигналы порождены флюктуациями электронной концентрации ионосферы, а выше $z \approx 90$ км — флюктуацией частоты столкновений электронов с молекулами. При этом высотные распределения электронной концентрации определяются в области высот, где экспериментальные данные не описываются традиционной теорией частичных отражений.

Вопрос о природе частично отраженных (ЧО) сигналов обсуждался различными авторами в течение ряда лет [2—4]. В настоящее время большинство исследователей полагают, что ЧО-сигналы порождены флюктуациями δN электронной концентрации N ионосферы. В этом случае высотные профили отношения средних квадратов амплитуд их необыкновенной A_n и обычной A_0 поляризаций имеют вид, приведенный для зондирующих частот $f = 2—6$ МГц на рис. 1. Эти профили рассчитаны для длительности импульса $\tau_n = 25$ мкс с использованием модельных высотных профилей $N(z)$ и $v(z)$ (частота столкновений электронов с молекулами) по формуле [3]:

$$\frac{\overline{A_n^2}}{\overline{A_0^2}}(z) = R(z) P(z) \exp \left[-4 \frac{\omega}{c} \int_0^z (x_n - x_0) dz' \right], \quad (1)$$

где $R(z) = \frac{[\Delta \epsilon_{0n}]^2}{[\Delta \epsilon_{0n}]^2}$; $\Delta \epsilon_{0n}$ — флюктуации диэлектрической проницаемости ионосферы $\epsilon_{0,n}$; $x_{0,n}$ — минимая часть $\epsilon_{0,n}$; $\omega = 2\pi f$; c — скорость света в вакууме; $P(z) = \frac{Y_0 \sin Y_n}{Y_n \sin Y_0}$; $Y_{0,n} = \tau_n \omega x_{0,n}$.

Однако на практике на средних и высоких широтах на высотном профиле $\overline{A_n^2}/\overline{A_0^2}$ в области высот $z \approx 80—95$ км наблюдается не описываемый теорией второй максимум. На рис. 2 показан характерный экспериментальный профиль $\overline{A_n^2}/\overline{A_0^2}$, полученный в районе г. Харькова 30.07.81 г. в 9.30 при $f = 2,583$ МГц, $\tau_n = 25$ мкс.